

بیشینه‌سازی قابلیت اطمینان تجهیزات شبکه‌ی انتقال برق از طریق بهینه‌سازی زمان‌بندی سرویس تعمیر و نگهداری با استفاده از الگوریتم مورچگان

علی محقق (دانشیار)

دانشکده‌ی مدیریت، دانشگاه تهران

میرزا حسن حسینی (دانشیار)

حسن هواهی^{*} (دانشجوی کارشناسی ارشد)

دانشکده‌ی علوم اجتماعی و اقتصادی، دانشگاه پام نور

قابلیت اطمینان یکی از شاخص‌های مهم در ارزیابی عملکرد و بهره‌برداری از سیستم‌های صنعتی است. امروزه راهکارهای بسیاری برای افزایش قابلیت اطمینان سیستم‌ها در نظر گرفته می‌شود. یکی از مؤثرترین راهکارها انجام سرویس‌های تعمیر و نگهداری پیشگیرانه روی تجهیزات سیستم است. زمان‌بندی انجام این سرویس‌ها غالباً مطابق روش‌های کلاسیک با پریودهای زمانی یکنواخت پربسامد یا کمبسامد (ماهانه یا سالانه) تعیین می‌شود. در این تحقیق ابتدا قابلیت اطمینان متوسط سیستم با توجه به انجام سرویس‌های تعمیر و نگهداری پیشگیرانه در بازه زمانی پنج ساله مدل‌سازی ریاضی شده و با استفاده از روش بهینه‌سازی الگوریتم کلونی مورچگان، یک برنامه‌ی زمان‌بندی بهینه برای انجام سرویس‌های تعمیر و نگهداری پیشگیرانه به دست آمده تا متوسط قابلیت اطمینان سیستم بیشینه شود. سیستم مورد نظر در این تحقیق تجهیزات یک ایستگاه (پست) نمونه‌ی فوق توزیع برق است.

amohaghar@ut.ac.ir
ir_hosseini@yahoo.com
hassan.bahrami75@gmail.com

واژگان کلیدی: تعمیر و نگهداری پیشگیرانه، قابلیت اطمینان، الگوریتم مورچگان، توزیع واپال.

۱. مقدمه و مرور ادبیات

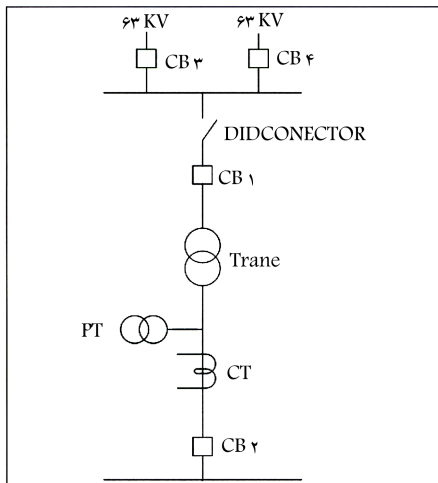
به منظور دست‌یابی به بیشینه قابلیت اطمینان سیستم مد نظر باشد، با توجه به پیچیدگی سیستم‌ها و غیرخطی بودن روابط حاکم بر قابلیت اطمینان اجراء و تأثیر سرویس‌ها روی آن‌ها و قابلیت اطمینان کل سیستم، مسئله تبدیل به یک مسئله‌ی بهینه‌سازی غیرخطی، پیچیده و چندین متغیره می‌شود که حل آن از طریق روش‌های عددی و کلاسیک امکان‌بزیر نخواهد بود.^[۱] بنابراین روش‌های بهینه‌سازی غیرخطی و غیرکلاسیک از قبیل الگوریتم مورچگان می‌تواند راه حل خوبی برای دست‌یابی به برنامه‌ی زمان‌بندی بهینه‌ی انجام سرویس‌های تعمیر و نگهداری پیشگیرانه باشند.^[۲] در این مقاله ضمن مدل‌سازی ریاضی قابلیت اطمینان و تأثیر انجام سرویس تعمیر و نگهداری و حل مدل از طریق الگوریتم مورچگان در محیط متلب، برنامه‌ی زمان‌بندی بهینه‌ی سرویس تعمیر و نگهداری یک پست فوق توزیع برق ارائه شده است. در تحقیق حاضر فواصل زمان‌بندی نیز متغیر و منعطف در نظر گرفته شده است. تحقیقات انجام شده‌ی قبلی بیشتر روی تجهیزات نیروگاهی صورت گرفته است اما در این مقاله شبکه‌ی انتقال برق مورد مطالعه قرار گرفته است.

بیشینه‌سازی قابلیت اطمینان از طریق انجام سرویس‌های تعمیر و نگهداری در چند سال اخیر مورد توجه محققین قرار گرفته است. در یکی از این مطالعات،

قابلیت اطمینان یک سیستم که به صورت احتمال کارکرد صحیح سیستم در طول بازه زمانی مشخص تعریف می‌شود یکی از شاخص‌های مهم در ارزیابی عملکرد سیستم است؛ زیرا موقع وقوع وقایعه در بهره‌برداری از سیستم‌های صنعتی علاوه بر خسارات مالی می‌تواند به ناکارآمدی سیستم‌ها بینجامد. بنابراین افزایش قابلیت اطمینان در سیستم‌ها از موارد مهم و مورد علاقه‌ی بهره‌برداران و طراحان سیستم است. یکی از روش‌های مؤثر در بهبود قابلیت اطمینان سیستم‌ها، انجام سرویس‌های تعمیر و نگهداری پیشگیرانه روی تجهیزات سیستم‌هاست که با نوسازی نخ و قوع خرابی اجراء منجر به افزایش طول عمر مفید سیستم می‌شود.^[۳]

در روش‌های کلاسیک، سرویس‌های تعمیر و نگهداری پیشگیرانه مطابق برنامه‌های زمان‌بندی مشخص و با پریودهای یکنواخت مثلاً ماهانه (پربسامد) یا شش‌ماهه یا سالانه (کمبسامد) انجام می‌شود. انجام سرویس‌ها با این روش لزوماً منجر به قابلیت اطمینان بیشینه نمی‌شود. از طرفی اگر دست‌یابی به یک برنامه زمان‌بندی بهینه برای انجام سرویس‌های تعمیر و نگهداری پیشگیرانه روی تجهیزات یک سیستم

* نویسنده مسئول
تاریخ: دریافت ۱۱/۸، ۱۳۹۱، اصلاحیه ۱۰/۱، ۱۳۹۳/۲، ۱۷ پذیرش ۱۳۹۳/۲، ۱۷



شکل ۱. سیستم نمونه پست برق به عنوان سیستم مورد مطالعه.

۲. معرفی سیستم

سیستم مورد مطالعه در این تحقیق یک پست نمونه متشکل از یک تجهیزات دوازده‌گانه است: ترانس قدرت، کلیدهای قدرت (۴ دستگاه)، ترانس‌های اندازه‌گیری و لتاژ و جریان PT/CT (یک دستگاه)، سکسیونر (یک دستگاه)، رله‌های حفاظتی (۵ دستگاه). در شکل ۱ سیستم نمونه نشان داده شده است.

ترانس قدرت تجهیز اصلی پست است و کلیدهای قدرت (بریکرها) برای قطع و وصل بار، سکسیونر برای قطع و لتاژ CT/PT (برای اندازه‌گیری و لتاژ و جریان و پنج رله حفاظتی شامل رله بوخهلتس^۵، دیفرانسیل، خطای زمین، خطای اضافه جریان، رله جانسون است که با عملکرد هرکدام کلیدهای ایزوله کننده‌ی ترانس قطع و ترانس مورد محافظت قرار می‌گیرد. سیستم نمونه‌ی مورد مطالعه در مجموع دوازده جزء دارد و هدف آن ارائه برنامه‌ی زمان‌بندی بهینه‌ی انجام سرویس‌های پیشگیرانه برای هر یک از ۱۲ جزء است به‌نحوی که قابلیت اطمینان و دسترسی‌پذیری سیستم بیشینه شود.

۳. مدل‌سازی قابلیت اطمینان

برای بهینه‌سازی قابلیت اطمینان یک سیستم ابتدا باید یک مدل‌سازی ریاضی برای توصیف قابلیت اطمینان آن داشته باشیم و سپس با تابع هدف قراردادن آن توسط الگوریتم مورچگان آن را بهینه کنیم.

تابع متعددی برای توصیف قابلیت اطمینان وجود دارد مانند توزیع بواسون، توابع دوجمله‌یی، توزیع نمایی، توزیع واپیال، توزیع ریلای و... [۱۲] برای سیستم‌های صنعتی مانند تجهیزات پست فشارقوی، توزیع واپیال تابع مناسبی برای توصیف احتمال شکست و قابلیت اطمینان برآورد شده است. قابلیت اطمینان یک تجهیز با توزیع احتمال شکست توزیع واپیال با رابطه ۱ بیان می‌شود:

$$R(t) = \exp \left[- \left(\frac{t}{\theta} \right)^m \right] \quad (1)$$

m و θ ضرایب شکل و مقیاس‌اند. در جدول ۱ مقادیر مربوط به تجهیزات سیستم مورد مطالعه ارائه شده است.

اگر $1 > m$ باشد با گذشت زمان نیز وقوع خرابی افزایش می‌یابد. معمولاً برای

برای یک نیروگاه انتی با استفاده از الگوریتم زتیک یک برنامه‌ی زمان‌بندی بهینه به منظور سرویس‌های تعمیر و نگهداری پیشگیرانه ارائه شده^[۱] که طی آن قابلیت اطمینان نیروگاه در مقایسه با روش‌های کلاسیک انجام سرویس‌های تعمیر و نگهداری پیشگیرانه بهبود قابل توجهی پیدا کرد. در مطالعه‌یی دیگر نیز با توجه به این که نگهداری و تعمیرات دارای‌های موجود شبکه‌ی توزیع برق، اقتصادی‌ترین روش برای پاسخ‌گویی به نیاز روزافزون تقاضاست، یک متداول‌بُری پیشرفت‌هی تعمیر و نگهداری مبتنی بر قابلیت اطمینان (RCM) برپایه‌ی تحلیل آماری که از داده‌های خروج از مدار در سطح تجهیزات برای قابلیت اطمینان کای سیستم پیشنهاد شد.^[۲] که برای شناسایی تجهیزات بحرانی برای قابلیت اطمینان سیستم اعمال می‌شود.

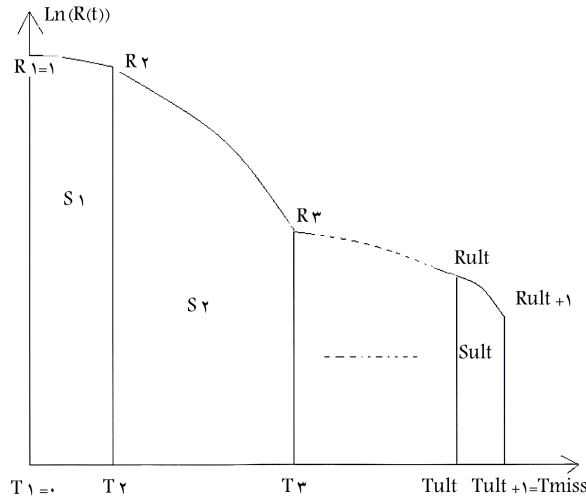
در تحقیقات بعدی، پژوهش‌گران یک الگوریتم تکاملی ترکیبی – الگوریتم زتیک و الگوریتم تپه‌نوردی – برای به دست آوردن زمان‌بندی تعمیر و نگهداری زنراتورها مبتنی بر قابلیت اطمینان ارائه کردند.^[۳] آنان همچنین یک سیستم مبتنی بر وضعیت^[۱] ارائه دادند که از سازوکار تعمیر و نگهداری مبتنی بر قابلیت اطمینان برای بهینه‌سازی هزینه تعمیر و نگهداری استفاده می‌کند. این روش استراتژی ترکیب داده را برای بهبود مانیتورینگ وضعیت، ارزیابی سلامت تجهیزات به کار گرفته است.^[۴] در مطالعات بعدی نیز که زمان‌بندی تعمیر و نگهداری نیروگاه‌ها با در نظر گرفتن شاخص‌های قابلیت اطمینان و اینمی سیستم مورد توجه قرار گرفت،^[۵] به محدودیت‌های اینمی علاوه بر محدودیت‌های نیروی انسانی و شاخص‌های قابلیت اطمینان سیستم – نظری ارزی توزیع نشده – نیز توجه شد و سیستم مدل‌سازی جبری عمومی^[۶] برای حل مسئله‌ی بهینه‌سازی مورد استفاده قرار گرفت. ارزش استفاده از رویکرد کمی نظام‌مند برای تحقیق اثر استراتژی‌های متفاوت تعمیر و نگهداری با کاربردن انواعی از این استراتژی‌های نشان داده شد.^[۶] محققین با اصلاح و اضافه کردن مدل زمان‌بندی کلاسیک تعمیر و نگهداری زنراتور (GMS)، یک مدل زمان‌بندی تعمیر و نگهداری زنراتور اصلاح شده با معیار قابلیت اطمینان ارائه دادند.^[۷] در مطالعات بعدی مفهوم ازدحام چندگانه برای الگوریتم بهینه‌سازی ازدحام ذره‌ی گستته اصلاح شده (MDPSO)^[۸] در ایجاد یک الگوریتم قوی برای حل مسئله‌ی زمان‌بندی تعمیر و نگهداری زنراتور (GMS) معرفی شد.^[۸]

در سال ۲۰۰۴ در تحقیق دیگر با استفاده از روش‌های کلونی مورچگان روشی برای بهینه‌سازی هزینه‌ی تعمیر و نگهداری پیشگیرانه روی سیستم‌های سری – موازی ارائه شد.^[۹] محققین الگوریتم بهینه‌سازی کلونی مورچگان با دامنه‌ی پیوسته را برای زمان‌بندی بهینه‌ی تعمیر و نگهداری نیروگاه برق با توجه به هزینه‌ی تعمیر و نگهداری ارائه دادند.^[۱۰] آنان با استفاده از الگوریتم تبرید شبیه‌سازی شده^[۱۱]، زمان‌بندی بهینه‌ی تعمیر و نگهداری زنراتورها با هدف کمینه‌سازی هزینه‌ی بهره‌برداری و انرژی توزیع نشده ارائه کردند.^[۱۱]

در این تحقیق برای یک پست نمونه‌ی فوق توزیع برق به عنوان سیستم قدرتی متشکل از تجهیزات مختلف با استفاده از الگوریتم مورچگان یک زمان‌بندی بهینه‌ی انجام سرویس‌های تعمیر و نگهداری پیشگیرانه حاصل شده تا به وسیله‌ی آن قابلیت اطمینان سیستم برای بازه زمانی ۵ ساله بهره‌برداری بیشینه شود.

در ادامه مقاله، اجرای سیستم در بخش ۲ معرفی شده و در بخش ۳ قابلیت اطمینان تحت سرویس پیشگیرانه مدل‌سازی شده است. در بخش ۴ تابع هدف و در بخش‌های ۵ تا ۷ پیاده‌سازی، اجرا و نتایج اجرای الگوریتم مورچگان تشریح شده است. در بخش ۸ نتایج الگوریتم مورچگان با روش‌های کلاسیک و در بخش ۹ با تابع حاصل از الگوریتم زتیک مقایسه شده است. در بخش ۱۰ نتیجه‌گیری کلی و در بخش ۱۱ نیز منابع ارائه شد.

جدول ۱. مقادیر مربوط به تابع ویبال توصیف کننده قابلیت اطمینان تجهیزات سیستم نمونه.



شکل ۲. منحنی تغییرات زمانی قابلیت اطمینان یک تجهیز تحت سرویس تعمیر و نگهداری pm در زمان‌های مختلف.

MTTF تجهیز با درنظر گرفتن هزینه وقفه‌ها به صورت رابطه ۳ بیان می‌شود:

$$MTTF = \sum_{i=1}^{ult} si - (R_1 T_{OFF} + R_2 T_{OFF} + \dots + R_{ULT} T_{OFF}) \quad (3)$$

و درنتیجه مقدار متوسط قابلیت اطمینان تجهیز برای بازه زمانی T_{miss} با تقسیم رابطه ۳ بر T_{miss} بدست می‌آید:

$$R_{av} = \frac{1}{T_{miss}} \left(\sum_{i=1}^{ult} S_i - T_{OFF} \times \sum_{i=1}^{ult} R_i \right) \quad (4)$$

در این تحقیقات دو فرض در نظر گرفته شده است: ۱. کوتاه‌ترین فاصله‌ی زمانی بین دو سرویس هر تجهیز دست کم ۳۰ روز در نظر گرفته شد. ۲. مدت زمان وقفه ناشی از انجام سرویس هر تجهیز یک روز در نظر گرفته شد.

۴. تابع هدف

باتوجه به این که رابطه‌ی بین احتمال شکست و قابلیت اطمینان از رابطه‌ی پیروی می‌کند، در مسئله‌ی بهینه‌سازی به جای بیشینه‌سازی متوسط قابلیت اطمینان، متوسط احتمال شکست را کمینه می‌کنیم:

$$\text{قابلیت اطمینان} - 1 = \text{احتمال شکست} \quad (5)$$

تاکنون موفق به مدل‌سازی قابلیت اطمینان اجزاء شده‌ایم. با توجه به ساختار مسئله و لزوم لحاظ کردن محدودیت هزینه و وقفه زمانی سرویس‌ها، مدل‌سازی را براساس مقدار متوسط احتمال شکست تجهیزات در طول زمان T_{miss} انجام دادیم (رابطه‌ی ۴). اما همان‌طور که قابل پیش‌بینی است معیار ما برای بهینه‌سازی، بیشینه‌سازی قابلیت اطمینان یا کمینه‌سازی متوسط احتمال شکست کل سیستم است؛ و این لزوماً به معنای بیشینه‌شدن قابلیت اطمینان همه‌ی اجراء نیست. بنابراین تابع هدف را باید بیشینه‌سازی قابلیت اطمینان کل سیستم قرار دهیم. در این تحقیق به جای بیشینه‌سازی قابلیت اطمینان، به کمینه‌سازی احتمال شکست سیستم پرداخته‌ایم،

نام تجهیز	ضریب θ	ضریب m	برحسب روز	زمان وقفه‌ی مورد نیاز برای هر بار
رله‌ی جانسون	۵۰۰۰	۲		۱
رله‌ی دیفرانسیل	۵۰۰۰	۲		۱
رله‌ی بوخهاتس	۵۰۰۰	۲		۱
REF	۵۰۰۰	۲		۱
رله‌ی اضافه جریان	۵۰۰۰	۲		۱
CT, PT	۱۰۰۰۰	۱/۵		۱
سکسیونر	۱۵۰۰۰	۱/۳		۱
CB۱	۳۰۰۰	۳		۱
CB۲	۳۰۰۰	۳		۱
تراس	۲۰۰۰	۲/۵		۱
CB۳	۳۰۰۰	۳		۱
CB۴	۳۰۰۰	۳		۱

تجهیزات قدرت و مکانیکی چنین وضعیتی محقق است. در چنین مواردی با انجام سرویس تعمیر و نگهداری پیشگیرانه و برگرداندن تجهیز به خوبی وضعیت تجهیز نو، در واقع نز وقوع خرابی را به اندازه‌ی یک تجهیز نو کاهش می‌دهد، و درنتیجه باعث بالارفتن قابلیت اطمینان خواهد شد.^[۱۲] نز وقوع خرابی یا نز خط یا سرعت خرابی لحظه‌یی، همان تعداد خرابی تجهیز در واحد زمان است به شرطی که تا زمان t ، تجهیز سالم و بدون شکست کار کند.^[۱۳] بنابراین با فرض انجام سرویس تعمیر و نگهداری pm روی تجهیز زام در زمان‌های T_{miss} , T_{m1} , ..., T_{mUlt} در طول بازه زمانی بهره‌برداری T_{miss} که در این تحقیق ۵ سال در نظر گرفته شده است، احتمال وقوع شکست برای تجهیز مطابق رابطه ۲ بیان می‌شود.^[۱۴]

$$P(t, j) = 1 - \{ \exp[-(t - T_m(\text{ult}))/\theta j] \}^{\text{ult}} \prod_{i=1}^{ult} \exp[-((T_m(i) - T_m(i-1))/\theta j)^{mj}] \quad (2)$$

که در آن، $j = 1 : 12$: $i = 1$: n اندیس مربوط به تجهیزات دوازده‌گانه سیستم ماست. ult : $i = 1$: n اندیس مربوط به نوبت سرویس تجهیز است. Ult : آخرین نوبت سرویس است.

در شکل ۲ منحنی تغییرات زمانی قابلیت اطمینان یک تجهیز نمونه‌ی زام را تحت سرویس تعمیر و نگهداری pm در زمان‌های مختلف برای بازه زمانی T_{miss} نشان داده شده است. در این تحقیق زمان انجام هر سرویس منجر به ایجاد وقفه‌یی در عملکرد تجهیز می‌شود که به عنوان هزینه‌ی سرویس (صرفشدن قابلیت اطمینان تجهیز در مدت زمان انجام سرویس) لحاظ شده است. با معلوم بودن زمان وقفه یا به عبارتی هزینه‌ی هر سرویس، برای لحاظ کردن هزینه در قابلیت اطمینان، مناسب به نظر می‌رسد که از متوسط زمان تا وقوع شکست MTTF^۶ استفاده کنیم. با توجه به شکل ۲،

جدول ۲. شاخه‌های کمینه (مرتبه اول و دوم).

$P\{m_1\} = P_1, P\{m_2\} = P_2, \dots, P\{m_4\} = P_4, P\{m_{10}\} = P_{10}$	شاخه‌های مرتبه اول
$P\{m_{11}\} = P_{11} \times P_{12}$	شاخه‌های مرتبه دوم

$$P_{sys} = \sum_{i=1}^{11} P\{m_i\} - \sum_{i=2}^{11} \sum_{j=1}^{i-1} P\{m_i \cap m_j\} + \sum_{i=2}^{11} \sum_{j=2}^{i-1} \sum_{k=1}^{j-1} P\{m_i \cap m_j \cap m_k\} + \dots + (-1)^{11-1} P\{m_1 \cap m_2 \cap \dots \cap m_{11}\} \quad (7)$$

از آنجا که پیشامدهای m_i مستقل از یکدیگرند، براساس نظریه احتمالات داریم:

$$P\{m_1 \cap m_2 \cap \dots \cap m_i\} = P\{m_1\} \times P\{m_2\} \times \dots \times P\{m_i\} \quad (8)$$

با جایگزینی رابطه‌ی ۸ در رابطه‌ی ۷ خواهیم داشت:

$$P_{sys} = \sum_{i=1}^{11} P\{m_i\} - \sum_{i=2}^{11} \sum_{j=1}^{i-1} P\{m_i\} \times P\{m_j\} + \sum_{i=2}^{11} \sum_{j=2}^{i-1} \sum_{k=1}^{j-1} P\{m_i\} \times P\{m_j\} \times P\{m_k\} - \sum_{i=2}^{11} \sum_{j=2}^{i-1} \sum_{k=2}^{j-1} \sum_{l=1}^{k-1} P\{m_i\} \times P\{m_j\} \times P\{m_k\} \times P\{m_l\} + \sum_{i=3}^{11} \sum_{j=3}^{i-1} \sum_{k=3}^{j-1} \sum_{l=2}^{k-1} \sum_{p=1}^{l-1} P\{m_i\} \times P\{m_j\} \times P\{m_k\} \times P\{m_l\} \times P\{m_p\} - \sum_{i=3}^{11} \sum_{j=3}^{i-1} \sum_{k=3}^{j-1} \sum_{l=3}^{k-1} \sum_{p=2}^{l-1} P\{m_i\} \times P\{m_j\} \times P\{m_k\} \times P\{m_l\} \times P\{m_p\} \times P\{m_q\} + \dots \quad (9)$$

با توجه به رابطه‌ی ۴ داریم:

$$P\{m_i\}_{i=1:10} = Pav_i \\ P\{m_{11}\} = Pav_{11} \times Pav_{12} \quad (10)$$

البته عبارات سه ضربی به بعد قابل چشم‌بوشی و کوچکاند ولی ما مدل‌سازی را با دقت عبارات شش ضربی انجام داده‌ایم.

برای محاسبه‌ی مقدار متوسط احتمال شکست سیستم، خلاصه روند زیر طی می‌شود: ابتدا با استفاده از رابطه‌ی ۴، مقدار متوسط احتمال وقفوه یا شکست اجزای دوازده‌گانه‌ی سیستم برای بازه زمانی ۵ ساله (T_{miss}) محاسبه می‌شود. سپس با استفاده از رابطه‌ی ۸ و ۹ مقدار متوسط احتمال شکست سیستم برای بازه زمانی ۵ ساله (T_{miss}) به دست می‌آید. در این تحقیق تابع هدف به صورت یک m-file با نام «تابع هزینه» در محیط نرم‌افزار Matlab پیاده‌سازی شده و این تابع در هر بار فراخوانی، با دریافت زمان‌های سرویس تمامی تجهیزات (T_m ها) به عنوان آرگومان ورودی، (و با معلوم بودن ضرایب مربوط به مقیاس و شکل توزیع ویا برای هر تجهیز (j و m_j)) مقدار متوسط احتمال شکست سیستم (P_{sys}) را با استفاده از روابط یادشده محاسبه و به عنوان خروجی تابع در فضای Matlab تولید می‌کند.

ولی با توجه به رابطه‌ی بین قابلیت اطمینان و احتمال شکست (رابطه‌ی ۵)، نتیجه‌ی هر دو کار یکسان است. بنابراین تابع هدف ما مقدار متوسط احتمال شکست کل سیستم در طول زمان T_{miss} است.

اکنون با در دست داشتن احتمال شکست اجزاء دوازده‌گانه‌ی سیستم (رابطه‌ی ۴)، باید رابطه‌ی احتمال شکست کل سیستم را به دست آوریم. اگر احتمال وقوع شکست یا وقفه در این دوازده جزء را به ترتیب P_{12} تا P_1 بنامیم، درخت مرتبه دوم است (احتمال وقفوه در سیستم در اثر شکست همزمان اجزاء ۱۱ و ۱۲ برابر حاصل ضرب $P_{11} * P_{12}$ است). نمودار بلوکی قابلیت اطمینان سیستم در شکل ۳ دیده می‌شود. در جدول ۲ نیز شاخه‌های کمینه سیستم ارائه شده است.

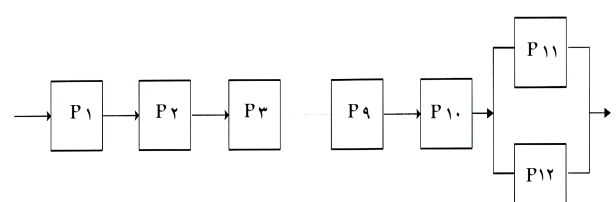
یادآوری می‌شود که P_{11} و P_{12} احتمال شکست کلیدهای قدرت (بریکرهای خط CB۳ CB۴) است که چنان که در شکل ۱ ملاحظه می‌شود فقط با قطع همزمان این دو کلید سیستم برق می‌شود. بقیه تجهیزات به صورت سری قرار دارند و با قطع و شکست هر کدام سیستم برق می‌شود.

با توجه به درخت پیشامد و نمودار بلوکی قابلیت اطمینان سیستم (شکل ۳) و جدول مربوط به شاخه‌های کمینه سیستم (جدول ۲) چنین استنباط می‌شود که لیست پیشامدهایی که می‌توانند منجر به شکست (وقفه) در کل سیستم شوند طبق شاخه‌های کمینه عبارت خواهد بود از:

$$\{P\{m_1\}, P\{m_2\}, \dots, P\{m_{10}\}, P\{m_{11}\}\}$$

در توضیح خاطرنشان می‌شود ساختار سیستم ما بگونه‌یی است که وقوع وقفه در هریک از ده تجهیز اول تا دهم به وقوع وقفه در کل سیستم می‌انجامد ولی اجزاء یازدهم و دوازدهم فقط با خروج همزمان‌شان می‌توانند موجب وقفه سیستم شوند. به عبارتی پیشامد یازدهم که ممکن است موجب وقفه سیستم شود براساس نظریه ای احتمالات عبارت است از رخدان P_{11} و P_{12} که با توجه به مستقل بودن این دو پیشامد از یکدیگر، برابر حاصل ضرب آن‌ها یعنی $P = P_{11} * P_{12}$ است. بنابراین طبق نظریه احتمالات، احتمال شکست کل سیستم چنین بیان خواهد شد:

$$P_{sys} = P\{m_1 \cup m_2 \dots \cup m_{10} \cup m_{11} \cup m_{12}\} \\ \text{شاخه‌های مرتبه اول} \\ P\{m_i\}_{i=1:10} = P_i \\ \text{شاخه‌های مرتبه دوم} \\ P\{m_{11}\} = P_{11} \times P_{12} \quad (6)$$



شکل ۳. بلوک نمودار قابلیت اطمینان سیستم.

۶. اجرای بهینه‌سازی

الگوریتم مورچگان را متناسب با ساختار مسئله به صورت یک ACO با نام m-file در محیط Matlab پیاده‌سازی کردیم و با اجرای این برنامه، در هر تکرار تعدادی مورچه مسیرهای مختلف را طبق ساختار معرفی شده در شکل ۴ طی می‌کنند و در پایان تکرار با ارزیابی تابع هزینه (یا هدف) برای مسیرهای طی شده، بهترین مسیر مربوط به بهترین مورچه انتخاب شده و فرمون‌گذاری روی آن مسیر انجام می‌شود.

تابع هدف، متوسط احتمال وقوع شکست در طول بازه ۵ ساله بهره‌برداری خاطرنشان می‌شود که انتخاب مسیر با استفاده از روش انتخاب چرخ رولت بین مسیرهای مختلف انجام می‌گیرد و شناس انتخاب مسیرهای مختلف به خاطر وزن دهی توسط فرایند فرمون‌گذاری تغییر می‌کند. برای حل این مسئله پارامترهای الگوریتم مطابق جدول ۳ در نظر گرفته شده است.

Nant تعداد کل مورچگان است که در هر تکرار طی مسیر می‌کنند. $\tau_0, \tau_1, \dots, \tau_{N-1}$ به ترتیب مقدار اولیه فرمون، ضریب تبخیر و ضریب اعمال تابع هزینه هستند که در ادامه به توضیح بیشتر آن‌ها می‌پردازیم. مقدار افزایش فرمون $\Delta\tau$ با رابطه ۱۱ بیان می‌شود:

$$\tau = \tau_0 + \Delta\tau = \tau_0 + \frac{Q}{BestCost} \quad (11)$$

τ_0 مقدار اولیه فرمون (یا در هر تکرار مقدار فرمون قبلي) است. Bestcost بهترین (کمترین) مقدار هزینه حاصل از تابع هزینه یا همان تابع هدف است که در واقع مقدار تابع هدف به ازای طی بهترین مسیر توسعه بهترین مورچه در هر تکرار است.

یادآوری می‌شود که تابع هدف مقدار متوسط احتمال شکست سیستم به ازای برنامه زمان‌بندی (یا همان مسیر طی شده توسعه مورچه) است. با توجه به این که در این مسئله خاص مقدار تقریبی با متوسط تابع هدف در حدود 10^0 است، بنابراین باید مقدار Q و τ_0 را چنان انتخاب کنیم که سطح فرمون به تدریج و به مرور زمان تغییر کند تا مسئله به سمت کمینه‌های محلی همگرا نشود. بنابراین اگر $\Delta\tau = 10^{-10}$ باشد تغییرات فرمون نسبت به سطح اولیه آن در حدود ۱٪ بوده و تدریجی خواهد بود. با انتخاب $1 = Q = 10^{00}$ تقریب یادشده محقق می‌شود و تغییر فرمون در هر تکرار در حدود ۱٪ خواهد بود. بدین ترتیب احتمال افتادن در دام کمینه‌های محلی ناشی از رشد سریع فرمون کاهش می‌یابد. از طرفی برای جلوگیری از انبساط فرمون طی تکرارهای بسیار، ضریب تبخیر ρ را در حدود 10^{-10} در نظر گرفته‌ایم تا با ۱٪ تبخیر سطح فرمون از انبساط فرمون در مسیرها جلوگیری کرده و شناس را برای پیدا شدن راه‌های جدیدتر و بهتر (بدعت) افزایش دهیم. رابطه ۱۲ بیان‌گر فرایند تبخیر است:

$$\tau_k = \tau_{(k-1)} \times (1 - \rho) \quad (12)$$

جدول ۳. پارامترهای الگوریتم مورچگان برای حل مسئله مورد نظر.

تعداد مورچگان	ضریب اعمال تابع هزینه	مقدار اولیه فرمون	ضریب تبخیر	تعداد تکرار
۳۰۰۰	۱	۱۰۰۰	10^{-10}	۳۰۰۰

۵. پیاده‌سازی الگوریتم مورچگان

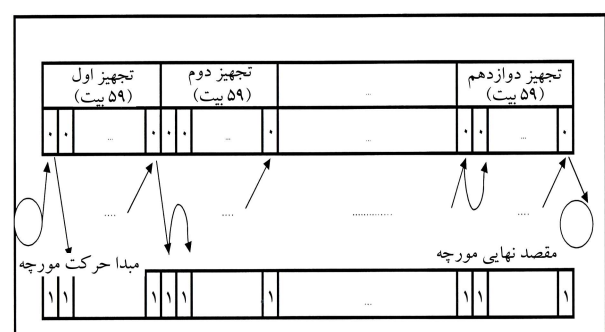
برای حل مسئله فرض کردیم که هر مسیر انتخابی توسعه مورچه، یک برنامه زمان‌بندی نمونه برای انجام سرویس‌های تعمیر و نگهداری PM روی تجهیزات سیستم باشد. بنابراین تابع هدف را طوری تعریف کردیم که هرچه مقدار آن برای یک مسیر نمونه کم‌تر باشد به معنای نزدیک‌تر بودن آن مسیر به جواب مسئله است.

تابع هدف، متوسط احتمال وقوع شکست در طول بازه ۵ ساله بهره‌برداری برای کل سیستم است که هرچه مقدار آن برای یک مسیر طی شده توسعه یک مورچه یا به عبارتی برای برنامه زمان‌بندی سرویس‌سازی است. در این تحقیق از الگوریتم مورچگان بازیز استفاده شده است. بازه زمانی پنج ساله به فاصله‌های زمانی یک‌ماهه (به تعداد بیشینه سرویس ممکن برای هر تجهیز یعنی $5 \times 12 - 1 = 59$) تقسیم شد. یک فریم 59×59 بیتی برای هر تجهیز در نظر گرفته شد که هر بیت نشان‌گر یک ماه است. صفر بودن هر بیت به معنای انجام نشدن سرویس در آن ماه و ۱ بودن آن به معنای آن است که در انتهای آن ماه یک نوبت سرویس pm روی تجهیز مورد نظر انجام می‌گیرد. سیستم دارای دوازده تجهیز و درنتیجه $59 \times 12 = 708$ بیت نماینده یک قالب زمان‌بندی برای سرویس کل سیستم است. برای این که این 708 بیت را به صورت مسیرهای ممکن برای مورچگان درآوریم مسیرها را به صورت آنچه که در شکل ۴ نشان داده شده، طراحی می‌کنیم.

هر مورچه از مبدأ شروع به حرکت می‌کند؛ حرکت در خانه‌های سطر بالا به منزله انجام نشدن سرویس و حرکت در سطر پایین به معنای انجام سرویس است. بنابراین ارزش بیت‌های سطر بالا صفر و ارزش بیت‌های سطر پایین ۱ است. هر سطر متشکل از ۵۹ بیت (خانه) است و به ترتیب $59 \times 12 = 708$ بیت اول مربوط به تجهیز اول، 59 بیت دوم مربوط به تجهیز دوم و... 59 بیت آخر مربوط به تجهیز دوازدهم است. برای مثال در شکل ۴، مورچه‌ی مورد نظر با طی مسیر نمونه که در شکل دیده می‌شود، برنامه‌ی زمان‌بندی سرویس تجهیزات را با روایت زیر رقم می‌زنند:

برای تجهیز اول در ماه اول سرویس انجام نمی‌شود و در پایان ماه دوم سرویس انجام می‌شود و... در پایان ماه آخر نیز سرویس PM انجام می‌شود.

برای تجهیز دوم در پایان ماه‌های اول و دوم سرویس انجام می‌شود و... در ماه آخر سرویس انجام نمی‌شود و... برای تجهیز دوازدهم در ماه‌های اول و دوم سرویس انجام نشده و... در ماه آخر سرویس انجام نمی‌شود.



شکل ۴. یک مسیر نمونه طی شونده توسعه یک مورچه.

الگوی بهینه‌ی زمان‌بندی انجام سرویس‌ها همان بهترین مسیر یا جواب مسئله است و با اجرای این الگوی زمان‌بندی سرویس (انجام سرویس روی تجهیزات با زمان‌بندی به دست آمده توسط برنامه)، مقدار متوسط احتمال شکست سیستم بازه پنج ساله به مقدار کمینه $10^{10} 754$ کاهاش می‌باشد.

۸. مقایسه‌ی نتایج الگوریتم مورچگان با روش‌های کلاسیک

برای مقایسه‌ی نتایج حاصل از الگوریتم مورچگان با روش کلاسیک، مقدار تابع هدف را برای حالت کلاسیک نیز آورده‌ایم. بدین منظور سه حالت را در نظر گرفته‌ایم:

۱. در حالت اول فرض شده که روی سیستم مورد نظر در طول بازه ۵ ساله هیچ سرویس پیشگیرانه‌ی انجام نشود که در این صورت مقدار تابع هدف یا احتمال شکست سیستم به مقدار 4362×10^0 افزایش می‌باشد.
۲. در حالت دوم سرویس‌های پیشگیرانه روی هر تجهیز به صورت ماهانه انجام شد؛ یعنی با توالی یک‌نواخت یک‌ماه همه‌ی تجهیزات هر ماه یکبار سرویس می‌شوند و با این روال احتمال شکست تا میزان 2992×10^0 کاهاش می‌باشد.
۳. در حالت سوم سرویس‌ها با توالی یک‌سال انجام می‌شود یعنی همه‌ی تجهیزات هر سال یکبار سرویس می‌شوند و با این روال احتمال شکست به 1455×10^0 می‌رسد. این بدان معناست که هزینه‌ی سرویس‌ها یعنی وقفه‌ی ناشی از انجام سرویس، در عملکرد سیستم به گونه‌ی است که با انجام سرویس سالانه به قابلیت اطمینان بالاتری نسبت به انجام سرویس ماهانه می‌رسیم.

چنان که ملاحظه می‌شود و پیش‌بینی نیز می‌شد، برای سیستم ما که قابلیت اطمینان آن با توزیع و بیان توصیف می‌شود، انجام سرویس تعمیر و نگهداری PM در بهبود قابلیت اطمینان تأثیر مثبت دارد.

برای مقایسه‌ی بهترین روش‌های مختلف زمان‌بندی سرویس پیشگیرانه، نتایج را برای بازه پنج ساله در جدول ۴ آورده‌ایم. چنان که در جدول ۴ ملاحظه می‌شود اگر هیچ سرویسی انجام نشود قابلیت اطمینان سیستم در حد 3836×10^0 کاهاش می‌باشد و با انجام سرویس ماهانه به مقدار 800×10^0 بهبود یافته و با انجام سالانه سرویس این بهبودی به 8555×10^0 افزایش می‌باشد.

جدول ۴. مقایسه‌ی روش‌های مختلف زمان‌بندی سرویس پیشگیرانه برای بازه ۵ ساله.

نتیجه	روش	احتمال شکست	قابلیت اطمینان	اطلاعات
شکست سیستم - ۱	سیستم			اطلاعات
0.5638×10^0	0.4962×10^0	۱. بدون انجام سرویس		
0.7008×10^0	0.2992×10^0	۲. انجام ماهانه سرویس		
0.8555×10^0	0.1445×10^0	۳. انجام سالانه سرویس		
0.8925×10^0	0.1075×10^0	۴. زمان‌بندی سرویس حاصله از الگوریتم مورچگان		

سطح فرومون در هر تکرار به اندازه 1% کاهاش می‌باشد. خاطرنشان می‌شود در الگوریتم مورچگان پارامتر دیگری به نام وزن نمایی ابتکاری^۹ (β) وجود دارد که در واقع به مورچه قدرت انتخاب مسیر و انتخاب دوراهی‌های پیش روی او را براساس مشاهدات شخصی‌اش می‌دهد. یادآوری می‌شود که وقتی مورچه به یک دوراهی می‌رسد از بین دو مسیری که پیش رو دارد (0 یا 1) با استفاده از دو معیار انتخاب مسیر می‌کند:

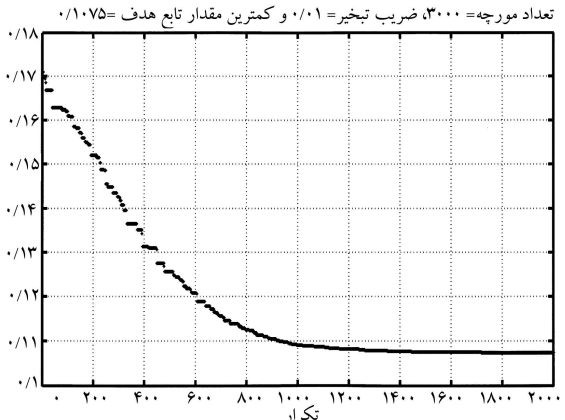
۱. معیار فرومون: یعنی احتمال انتخاب مسیری که فرومون آن بیشتر است بزرگ‌تر است. سطح فرومون در واقع بیان‌گر داشت به تدریج شکل گرفته‌ی نسل‌های فراوان مورچه‌ها (ناشی از سعی و خطأ) درمورد مسیرهای برتر است و می‌تواند به انداخته‌های فرهنگی و داشش‌های کهن تشبيه شود که از خرد جمعی در طول زمان‌های بسیار به دست می‌آید.

۲. معیار ابتکاری: یعنی احتمال گزینش مسیر مناسب براساس پیش‌بینی خود مورچه، افزایش می‌باشد. این داشت مانند داشت فردی مورچگان است و حالت کلان و قدیم ندارد؛ بلکه فقط براساس دید و مشاهدات فردی به قضایا و انتخاب مسیر کوتاه‌تر پیش رو است، که لزوماً انتخاب‌های صحیح را نمی‌دهد زیرا دید کلی نگر در آن وجود ندارد.

از آنجا که در دوراهی‌های این مسئله خاص – یعنی انتخاب 0 یا 1 ، یا به عبارتی در انتخاب این که در هر گام زمانی سرویس PM انجام شود یا نشود – تفاوت و رجحان خاصی وجود ندارد، ما این معیار را حذف کرده و با اختیار کردن β در واقع تنها معیار انتخاب مسیر را سطح فرومون (دانش خبره) قرار داده‌ایم.

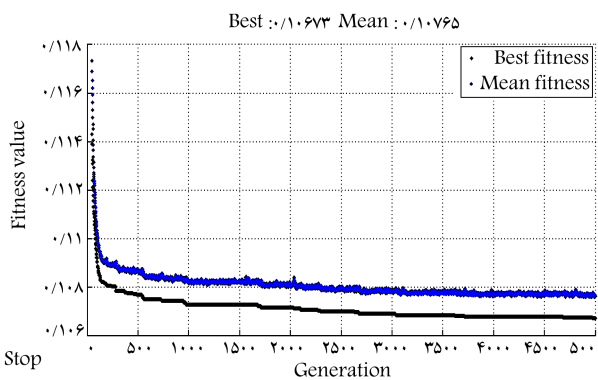
۷. نتایج بهینه‌سازی مسئله با استفاده از الگوریتم مورچگان ACO

چنان که گفته شد برنامه‌ی بهینه‌سازی با الگوریتم مورچگان به صورت m-file در محیط Matlab توسعه داده شده که با پارامترهای جدول ۳ و تابع هزینه (تابع هدف) اجرا شد و کمترین مقدار به دست آمده برای تابع هدف 10754×10^0 است که در شکل ۵ تغییرات مقدار تابع هدف (همان مقدار متوسط احتمال شکست سیستم) برحسب تکرارها نشان داده شده است.



شکل ۵. نتیجه اجرای الگوریتم مورچگان با تعداد 3000 مورچه و ضریب تبخر 0.051

با انجام سرویس با زمان‌بندی حاصل از بهینه‌سازی به روش الگوریتم مورچگان قابلیت اطمینان سیستم به مقدار 8925% بهبود می‌یابد.



شکل ۶. نتیجه‌ی اجرای الگوریتم ژنتیک با سایز جمعیت $POP = 300$.

جدول ۵ آمده است که تغییرات آن‌ها تأثیر چندانی در نتیجه‌ی اجرای الگوریتم نداشت. شکل ۶ در بهترین حالت تغییرات مقدار تابع هدف (که همان مقدار متوسط احتمال شکست سیستم است) را بر حسب نسل‌ها نشان می‌دهد.

الگوریتم بهینه‌ی زمان‌بندی انجام سرویس‌ها همان بهترین کروموزوم یا جواب مسئله است و با اجرای این الگوریتم زمان‌بندی سرویس (انجام سرویس روی تجهیزات با زمان‌بندی به دست آمده توسط برنامه)، متوسط احتمال شکست سیستم برای بازه ۵ ساله به مقدار کمینه‌ی 10673% کاهش می‌یابد. در مقایسه با الگوریتم مورچگان، الگوریتم ژنتیک جواب بهتر و سریع‌تری ارائه می‌کند. ضمناً نزدیکی جواب از طریق هر دو الگوریتم، نشان‌دهنده‌ی نیفتادن در دام کمینه‌ی محلی و به دست آوردن جواب صحیح است.

۹. مقایسه‌ی نتایج الگوریتم مورچگان با روش حاصل از الگوریتم ژنتیک

تابع هدف الگوریتم ژنتیک را متناسب با ساختار مسئله به صورت یک M-File با نام تابع هزینه^۱، در محیط متلب پیاده‌سازی کردیم و برای حل مسئله، پارامترهای الگوریتم ژنتیک مطابق جدول ۵ در نظر گرفته شد. اجراهای مختلفی با جمعیت اولیه معادل ۲۰، ۱۰ و ۳۰۰ انجام شد و مشاهده شد که با انتخاب جمعیت اولیه 300 به بالاتر، جواب نهایی بهبود قابل ملاحظه‌ی پیدا نمی‌کند. با تغییر دیگر پارامترهای الگوریتم مانند ضریب جهش، تقاطع و... نیز بهبود قابل ملاحظه‌ی در جواب نهایی مشاهده نمی‌شود. این بدان معناست که جواب به دست آمده یک کمینه‌ی مطلق است و ما در دام کمینه‌ی محلی گرفتار نشیدیم. در جدول ۶ نتایج اجرای الگوریتم ژنتیک در حالات مختلف ارائه شده است. بقیه‌ی پارامترهای الگوریتم — ضریب جهش، ضریب تقاطع، ضریب مهاجرت — در جدول ۵. پارامترهای اصلی الگوریتم ژنتیک برای حل مسئله‌ی ما.

سایز جمعیت	۲۰
ضریب نسبت تقاطع	۰,۸
ضریب نسبت مهاجرت	۰,۲
ضریب جهش	۰,۰۱
تعداد نسل‌ها	۵۰۰۰

جدول ۶. نتایج اجرای الگوریتم ژنتیک در حالات مختلف.

دسترس پذیری	احتمال شکست	تعداد نسل‌ها	سایز جمعیت
۱۰	۵۰۰۰	۰,۱۰۷۹۳	۰,۸۹۲۱
۲۰	۵۰۰۰	۰,۱۰۷۴۴	۰,۸۹۲۶
۳۰۰	۵۰۰۰	۰,۱۰۶۷۳	۰,۸۹۲۳

پانوشت‌ها

1. condition-based
2. general algebraic modelling system (GAMS)
3. Modified Discrete Particle Swarm Optimization
4. simulated annealing

5. Buchholz Relay
6. mean time to failure (MTTF)
7. minimal cut-sets
8. cut-sets
9. heuristic exponential weight
10. cost function

منابع (References)

1. Lapa, C.M.F., Pereira, C.M.N.A. and Mol, A.C.D.A “Maximization of a nuclear system availability through maintenance scheduling optimization using a genetic algorithm”, *Nuclear Engineering and Design*, **196**, pp. 219-231 (2000).
2. Adoghe, A.U., Awosome, C.O.A. and Ekeh, J.C. “Asset maintenance planning in electric power distribution network using statistical analysis if outage data”, *Electrical Power & Energy Systems*, **47**, pp. 424-435 (may 2012).
3. Reihani, E., Sarikhani, A., Davodi, M. and Davodi, M. “Reliability based generator maintenance scheduling using hybrid evolutionary approach”, *Electrical Power & Energy Systems*, **42**, pp. 434-439 (November 2012).
4. Niu, G., Yang, B.-S. and Pecht, M. “Development of an optimized condition-based maintenance system by data fusion and reliability-centered maintenance”, *Reliab. Eng. Syst. Saf.*, **59**(7), pp. 786-796 (2010).
5. Badri, A., Norozpour Niazi, A. and Hoseini, S.M. “Log term preventive generation maintenance scheduling with network constraints”, *Energy Procedia*, **14**, pp. 1889-1895 (2012).
6. Zhang, X. and Gochenbach, E. “Age-dependent maintenance strategies of medium – voltage circuit-breakers and transformers”, *Electric Power Systems Research*, **181**(8), pp. 1709-1714 (2011).
7. Ekpenyong, U.E., Zhang, J. and Xia, X. “An improved robust model for generator maintenance scheduling”, *Electric Power Systems Research*, **92**, pp. 29-36 (2012).
8. Yare, Y. and Agamoorthy, G.K.V. “Optimal maintenance scheduling of generators using multiple swarm-MDPSO framework”, *Engineering Applications of Artificial Intelligence*, **23**(6), pp. 895-910 (2010).
9. Samrout, M., Yalavi, F., Chatelt, E. and Chebbo, N. “New methods to minimize the preventive maintenance cost of series-parallel systems using ant colony optimization”, *Reliab. Eng. Syst. Saf.*, **89**, pp. 346-354 (2005).
10. Fetanat, A. and Shafipour, Gh. “Generation maintenance scheduling in power systems using ant colony optimization for continous domain based 0-1integer programming”, *Expert Systems with Applications*, **38**(8), pp. 9729-9735 (2011).
11. Saravia, J.T., Pereira, M.L., Torrado, V. and Sousa, M.J.C. “A simulated Annealing based approach to solve the generator maintenance scheduling problem”, *Electric Power Systems Research*, **81**(7), pp. 1283-1291 (2011).
12. Lewis, E.E., *Introduction to Reliability Engineering*, Wiley, New York (1987).